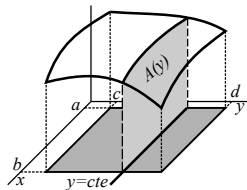


## 4. Integrales múltiples (este pdf)

4.1 Integrales dobles

4.2 Integrales triples

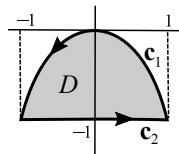


## 5. Integrales de línea

5.1 Integrales de campos escalares sobre curvas

5.2 Integrales de campos vectoriales y de gradientes

5.3 Teoremas de Green y de la divergencia



## 6. Integrales de superficie

6.1 Definición y cálculo

6.2 Teoremas de la divergencia y Stokes

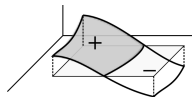
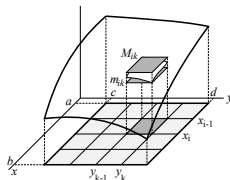
(extendiendo la introducción hecha en 2021 para los ingenieros de materiales sobre 4 y 5)

## Integrales dobles. Definición poco práctica como en $\mathbf{R}$ .

$f(x, y)$  **acotada** en **rectángulo**  $R = [a, b] \times [c, d]$ . Se divide  $R$  en otros  $n \times n$ . Se llama  $M_{ik}$  y  $m_{ik}$  al supremo e ínfimo de  $f$  en cada  $R_{ij}$  y **sumas superior e inferior** a:  $U_n = \sum_{i,k=1}^n M_{ik} \Delta x \Delta y$ ,  $L_n = \sum_{i,k=1}^n m_{ik} \Delta x \Delta y$ .

Si las sucesiones  $\{L_n\}$  y  $\{U_n\}$  tienden al mismo límite, se dice que  $f$  es **integrable**, al límite se le llama **integral** de  $f$  en  $R$  y se representa por  $\iint_R f$  ó  $\iint_R f(x, y) dx dy$ .

Si  $f \geq 0$ ,  $\iint_R f$  describirá el **volumen** encerrado entre la gráfica de  $f$  y el plano  $z=0$  en  $R$ , y en general (como en  $\mathbf{R}$ ), será la suma de volúmenes con signos + o - adecuados. Y como sucedía allí:



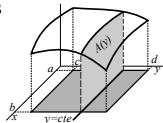
**Teor**

Si la  $f$  acotada en  $R$  es continua o discontinua como mucho en un número finito de puntos y gráficas de funciones continuas, entonces  $f$  es integrable en  $R$ .

Para calcular integrales dobles no se usa la definición. Basta hacer dos integraciones sucesivas de funciones de una variable, como dice el siguiente teorema (de Fubini):

$$f \text{ continua en } R \Rightarrow \iint_R f = \int_c^d \left[ \int_a^b f(x, y) dx \right] dy = \int_a^b \left[ \int_c^d f(x, y) dy \right] dx.$$

Para  $y$  constante  $A(y) = \int_a^b f(x, y) dx$  es el área de una sección del sólido acotado por la gráfica de  $f$ . Integrando  $A(y)$  se tiene el volumen  $\iint_R f = \int_c^d A(y) dy$ . La otra igualdad es lo simétrico.



## Primer ejemplo e integración sobre otros recintos $D$ sencillos

**Ej 1.** Sean  $R = [0, \pi] \times [0, 1]$  y  $f(x, y) = y \sin x$ . Calcular esta integral es fácil:

$$\iint_R f = \int_0^\pi \left[ \int_0^1 y \sin x \, dy \right] dx = \int_0^\pi \left[ \frac{y^2 \sin x}{2} \right]_0^1 dx = \int_0^\pi \frac{\sin x}{2} dx = \frac{1 - \cos \pi}{2} = 1.$$

$$\text{O bien: } \iint_R f = \int_0^1 \left[ \int_0^\pi y \sin x \, dx \right] dy = \int_0^1 [-y \cos x]_0^\pi dy = \int_0^1 2y \, dy = 1.$$

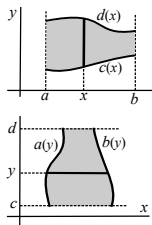
[Hay que tener en cuenta en cada paso cual es la variable y cual se mira como constante].

[Dejamos de escribir corchetes entre integrales pues usualmente no se hace].

Otros  $D$  más complicados se dividirán en varios de esos tipos y se sumarán las integrales]:

i)  $f$  continua en  $D = \{(x, y) : a \leq x \leq b, c(x) \leq y \leq d(x)\}$ , con  $c \leq d$  continuas en  $[a, b] \Rightarrow \iint_D f = \int_a^b \int_{c(x)}^{d(x)} f(x, y) \, dy \, dx$ .

ii)  $f$  continua en  $D = \{(x, y) : c \leq y \leq d, a(y) \leq x \leq b(y)\}$ , con  $a \leq b$  continuas en  $[c, d] \Rightarrow \iint_D f = \int_c^d \int_{a(y)}^{b(y)} f(x, y) \, dx \, dy$ .



Cuando  $x$  varía entre  $a$  y  $b$ ,  $y$  varía entre  $c(x)$  y  $d(x)$ . Similar para ii).

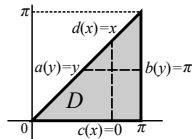
Si  $f \geq 0$ ,  $\iint_D f$  describe el **volumen del sólido** encerrado entre la gráfica de  $f$  y el plano  $xy$  sobre la región  $D$ . Si  $f(x, y)$  fuera la densidad variable de una placa  $D$ , la integral doble representaría la **masa** de la placa.  $\iint_D 1$  proporcionará el **área** de  $D$ .

**Ej 3.** Integremos  $f(x, y) = x \cos(x+y)$  sobre el  $D$  del dibujo:

$$\begin{aligned} \iint_D f &= \int_0^\pi \int_0^x x \cos(x+y) dy dx = \int_0^\pi x [\sin 2x - \sin x] dx \\ &= \left[ x(\cos x - \frac{1}{2} \cos 2x) \right]_0^\pi + \int_0^\pi \left[ \frac{1}{2} \cos 2x - \cos x \right] dx = -\frac{3\pi}{2}. \end{aligned}$$

O, más largo en este caso, integrando primero respecto a  $x$ :

$$\iint_D f = \int_0^\pi \int_y^\pi x \cos(x+y) dx dy \stackrel{\text{partes}}{=} \int_0^\pi [-\pi \sin y - \cos y - y \sin 2y - \cos 2y] dy = -\frac{3\pi}{2}.$$

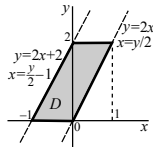


**pr5.** Hallemos  $\iint_D (y-2x)^3 dx dy$ , siendo  $D$  el cuadrilátero de vértices  $(0,0)$ ,  $(1,2)$ ,  $(0,2)$ ,  $(-1,0)$ .

$$\text{Más corto: } \int_0^2 \int_{y/2-1}^{y/2} (y-2x)^3 dx dy = \int_0^2 -\frac{1}{8} [(y-2x)^4]_{y/2-1}^{y/2} dy = \int_0^2 2 dy = 4.$$

[Integral de una constante = constante  $\times$  longitud del intervalo]

$$\text{Peor: } \int_{-1}^0 \int_0^{2x+2} (y-2x)^3 dy dx + \int_0^1 \int_{2x}^2 (y-2x)^3 dy dx = \dots = 4.$$



**Ej 4.** Para integrar sobre  $D$  limitado por  $y=|x|-1$  e  $y=x^2/2$  se debe dividir:

$$\text{Mejor así: } \iint_D f = \int_{-2}^0 \int_{-x-1}^{x^2/2} f(x, y) dy dx + \int_0^2 \int_{x-1}^{x^2/4} f(x, y) dy dx.$$

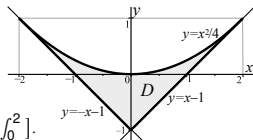
Primero integramos  $f \equiv 1$  y obtendremos el **área de  $D$** :

$$A = \iint_D 1 = \int_{-2}^0 \left( \frac{x^2}{4} + x + 1 \right) dx + \int_0^2 \left( \frac{x^2}{4} - x + 1 \right) dx = \frac{2}{3} + \frac{2}{3} = \frac{4}{3}.$$

[Iguales pues  $f \equiv 1$  par en  $x$  y  $D$  simétrico respecto a  $x=0$ . Bastaba hacer  $2 \int_0^2$ ].

$$\text{Ahora } f(x, y) = 3xy^2: \iint_D f = \int_{-2}^0 [xy^3]_{-x-1}^{x^2/4} dx + \int_0^2 [xy^3]_{x-1}^{x^2/4} dx = \dots = -\frac{1}{10} + \frac{1}{10} = 0.$$

[Se anula por ser  $f$  **impar** en  $x$  y  $D$  simétrico respecto a  $x=0$ . El 'volumen negativo' de  $x \leq 0$  se cancela con el positivo de  $x \geq 0$ ].



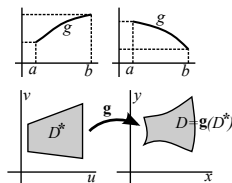
## Cambios de variable. Cambio lineal.

Generalicemos  $\int_a^b f(g(u)) g'(u) du = \int_{g(a)}^{g(b)} f(x) dx$ ,  $g \in C^1([a, b])$ .

Si  $g$  **inyectiva** (creciente o decreciente) en  $[a, b]$  se puede escribir:

$$\int_{[a,b]} f(g(u)) |g'(u)| du = \int_{g([a,b])} f(x) dx.$$

En el plano para hallar  $\iint_D f(x,y) dx dy$  se hace  $g: D^* \subset \mathbb{R}^2 \rightarrow D \subset \mathbb{R}^2$   
 $(u,v) \rightarrow (x(u,v), y(u,v))$   
 buscando que el nuevo recinto  $D^*$  o la nueva función a integrar sean más sencillas. Se demuestra el teorema:



Si  $g: (u, v) \rightarrow (x(u, v), y(u, v))$  es  $C^1$ , inyectiva en  $D^*$ ,  $g(D^*) = D$  y  $f$  es integrable, entonces  $\iint_D f(x, y) dx dy = \iint_{D^*} f(x(u, v), y(u, v)) \left| \frac{\partial(x,y)}{\partial(u,v)} \right| du dv$ .

[El jacobiano viene a medir como se deforman las áreas al pasar a las nuevas variables].

**cambio lineal:**  $\begin{cases} x = Au + Bv \\ y = Cu + Dv \end{cases}$ . Si  $\frac{\partial(x,y)}{\partial(u,v)} = \begin{vmatrix} A & B \\ C & D \end{vmatrix} = AD - BC \neq 0$  define biyección de  $\mathbb{R}^2$  en  $\mathbb{R}^2$ .

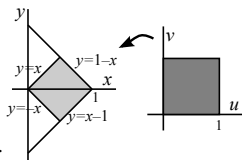
$$\rightarrow \iint_D f(x, y) dx dy = |AD - BC| \iint_{D^*} f(Au + Bv, Cu + Dv) du dv.$$

**Ej 6.** Hallemos  $\iint_D (x-y)^2 e^{x+y} dx dy$ , con  $D$  el cuadrado de la figura.

La forma de  $f$  y el recinto sugieren:  $\begin{cases} x+y=u \\ x-y=v \end{cases} \Leftrightarrow \begin{cases} x=(u+v)/2 \\ y=(u-v)/2 \end{cases}$ .

Las rectas que definen los lados pasan a ser:  $u=0, 1, v=0, 1$ .

El jacobiano es  $\begin{vmatrix} 1/2 & 1/2 \\ 1/2 & -1/2 \end{vmatrix} = -\frac{1}{2}$ . Luego  $\iint_D = \frac{1}{2} \int_0^1 \int_0^1 v^2 e^u du dv = \frac{e-1}{6}$ .



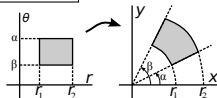
# Cambio a polares (el que más aparece)

$$\begin{cases} x = r \cos \theta \\ y = r \sin \theta \end{cases}. \text{ El jacobiano es: } \frac{\partial(x,y)}{\partial(r,\theta)} = \begin{vmatrix} \cos \theta & -r \sin \theta \\ \sin \theta & r \cos \theta \end{vmatrix} = r(\cos^2 \theta + \sin^2 \theta) = r.$$

Y el cambio adopta la forma:

$$\iint_D f(x,y) dx dy = \iint_{D^*} r f(r \cos \theta, r \sin \theta) dr d\theta.$$

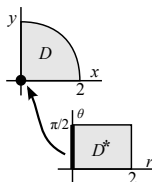
¿Qué conjuntos  $D$  son  $D^*$  sencillos del plano  $r\theta$ ? Un rectángulo  $[r_1, r_2] \times [\alpha, \beta]$  pasa a ser un sector de corona circular limitado por circunferencias de radios  $r_1, r_2$  y rectas de pendientes  $\alpha, \beta$ .



**Ej 8.** Hallemos  $\iint_D \sqrt{4-x^2-y^2} dx dy$ , con  $D$  el sector circular del dibujo:

$$\iint_{D^*} r \sqrt{4-r^2} dr d\theta = \int_0^{\pi/2} \int_0^2 r(4-r^2)^{1/2} dr d\theta = \int_0^{\pi/2} \left[ \frac{(4-r^2)^{3/2}}{-3} \right]_0^2 d\theta = \frac{4\pi}{3}.$$

la  $\int_0^2$  no depende de  $\theta$       octante de esfera ↗



El cambio no es inyectivo en el lado izquierdo del rectángulo  $D^*$  (todos los puntos con  $r=0$  van al origen), pero los cambios son válidos aunque falle la inyectividad en puntos o rectas sueltas.

Aunque el integrando es sencillo en cartesianas, el recinto pide usar polares:

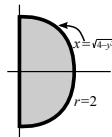
**Ej 9.** Calcular la integral doble  $\iint_D (x-y)^2 dx dy$ , con  $D$  semicírculo dado por  $x^2+y^2 \leq 4, x \geq 0$ .

En polares,  $(r \cos \theta - r \sin \theta)^2 = r^2(\cos^2 \theta + \sin^2 \theta - 2 \sin \theta \cos \theta) = r^2(1 - \sin 2\theta)$ .

$$\int_{-\pi/2}^{\pi/2} \int_0^2 r^3 (1 - \sin 2\theta) dr d\theta = 4 \int_{-\pi/2}^{\pi/2} (1 - \sin 2\theta) d\theta = 4\pi.$$

↑ por el jacobiano      (es impar)

Largo:  $\int_{-2}^2 \int_0^{\sqrt{4-y^2}} (x^2 - 2xy + y^2) dx dy = \int_{-2}^2 (y^3 - 4y + \frac{2}{3}(y^2+2)\sqrt{4-y^2}) dy = \dots$



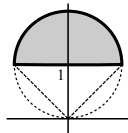
## Más integrales con cambios

El recinto no parece adecuado, al no estar limitado por curvas  $r = cte$ , pero la  $f$  las pide:

**Ej 11.** Integremos  $f(x, y) = \frac{y}{x^2 + y^2}$ , sobre  $x^2 + (y-1)^2 \leq 1$ ,  $y \geq 1$  (semicírculo).

$$y = r \operatorname{sen} \theta = 1 \rightarrow r = 1/\operatorname{sen} \theta, \quad x^2 + y^2 = 2y, \quad r^2 = 2r \operatorname{sen} \theta \rightarrow r = 2 \operatorname{sen} \theta.$$

$$\int_{\pi/4}^{3\pi/4} \int_{1/\operatorname{sen} \theta}^{2 \operatorname{sen} \theta} \frac{r^2 \operatorname{sen} \theta}{r^2} dr d\theta = \int_{\pi/4}^{3\pi/4} (2 \operatorname{sen}^2 \theta - 1) d\theta = - \int_{\pi/4}^{3\pi/4} \cos 2\theta d\theta = 1.$$

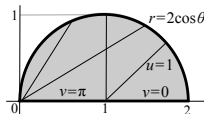


Pequeñas **modificaciones del cambio a polares:**

**Ej 14.** Hallemos  $\iint_D y \, dx \, dy$ ,  $D$  región dada por  $(x-1)^2 + y^2 \leq 1$ ,  $y \geq 0$ .

Polares centradas en  $(1, 0)$ :  $x = 1 + u \cos v$ , con  $\frac{\partial(x,y)}{\partial(u,v)} = \begin{vmatrix} \cos v & -u \operatorname{sen} v \\ \operatorname{sen} v & u \cos v \end{vmatrix} = u$ .

Como  $(x-1)^2 + y^2 = 1 \rightarrow u = 1$   
 $y \geq 0$  para  $v \in [0, \pi]$  es:  $\iint_D y = \int_0^\pi \int_0^1 u^2 \operatorname{sen} v \, du \, dv = \frac{2}{3}$ .



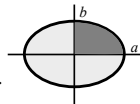
Aunque la integral no es complicada en cartesianas (de las dos formas) y en las polares habituales:

$$\int_0^2 \int_0^{\sqrt{2x-x^2}} y \, dy \, dx = \frac{1}{2} \int_0^2 (2x - x^2) \, dx = \frac{2}{3}. \quad \int_0^1 \int_{1-\sqrt{1-y^2}}^{1+\sqrt{1-y^2}} y \, dx \, dy = \int_0^1 2y(1-y^2)^{1/2} \, dy = \frac{2}{3}.$$

$$x^2 + y^2 = 2x \rightarrow r = 2 \cos \theta \rightarrow \int_0^{\pi/2} \int_0^{2 \cos \theta} r^2 \operatorname{sen} \theta \, dr \, d\theta = \frac{8}{3} \int_0^{\pi/2} \cos^3 \theta \operatorname{sen} \theta \, d\theta = \frac{2}{3}.$$

**Ej 15.** Hallemos el área  $A$  de la elipse  $\frac{x^2}{a^2} + \frac{y^2}{b^2} = 1$ . Modificamos el cambio a polares:

$$\begin{cases} x = ar \cos \theta \\ y = br \operatorname{sen} \theta \end{cases}, J = abr. \text{ La elipse pasa a ser } r = 1 \rightarrow A = \int_0^{2\pi} \int_0^1 abr \, dr \, d\theta = \pi ab.$$



## Más aplicaciones de las integrales dobles

Además del **área** de  $D$  [ $A = \iint_D dx dy$ ] y **volumen** en  $D$  bajo la gráfica de  $f$  positiva [ $V = \iint_D f$ ], es  $V = \iint_D (g - f) dx dy$  el **volumen sobre  $D$  entre las gráficas de  $f$  y  $g$  acotadas**, si  $f \leq g$ .

El **promedio** de una magnitud  $f$  sobre  $D$  es  $\bar{f} = \frac{1}{A} \iint_D f$ .

Si  $\sigma(x, y)$  es la **densidad** de una placa  $D$ , su **masa** es  $M = \iint_D \sigma(x, y) dx dy$ .

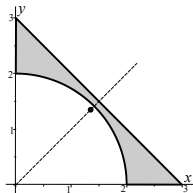
El **centro de masa** de la  $D$  es el punto  $(\bar{x}, \bar{y})$  de coordenadas  $\bar{x} = \frac{1}{M} \iint_D x \sigma$ ,  $\bar{y} = \frac{1}{M} \iint_D y \sigma$  [se llama **centroide** si  $\sigma = \text{cte}$ , y será  $\bar{x} = \frac{1}{A} \iint_D x$ ,  $\bar{y} = \frac{1}{A} \iint_D y$  (el promedio de sus  $x$  e  $y$ )].

**Ej 18.** Calculemos el centro de masas de la región del primer cuadrante dada por  $x^2 + y^2 \geq 4$ ,  $x + y \leq 3$  y cuya densidad es  $\sigma(x, y) = xy$ .

$$\text{La masa es } M = \int_0^2 \int_{\sqrt{4-x^2}}^{3-x} xy dy dx + \int_2^3 \int_0^{3-x} xy dy dx = \dots = \frac{11}{8}.$$

La  $\bar{x}$  y la  $\bar{y}$  serán iguales por simetría de la región y de la densidad.

$$M \bar{x} = \int_0^2 \int_{\sqrt{4-x^2}}^{3-x} x^2 y dy dx + \int_2^3 \int_0^{3-x} x^2 y dy dx = \frac{23}{12} \rightarrow \bar{x} = \bar{y} = \frac{46}{33} \approx 1.39.$$



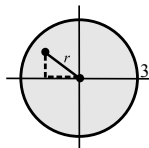
**Ej 19.** Hallemos la distancia media de los puntos de un círculo de radio 3 a su centro.

$$9\pi \text{ es el área del círculo y la distancia } r. \text{ Luego } d_{\text{media}} = \frac{1}{9\pi} \int_0^{2\pi} \int_0^3 r^2 dr d\theta = 2.$$

Hallamos ahora la media para otra distancia:  $d^*((x, y), (a, b)) = |x - a| + |y - b|$  (caminando paralelos a los ejes)

La distancia al origen aquí es  $r(|\cos \theta| + |\sin \theta|)$  y por tanto:

$$d_{\text{media}}^* = \frac{1}{9\pi} \int_0^{2\pi} \int_0^3 r^2 (|\cos \theta| + |\sin \theta|) dr d\theta = \frac{4}{9\pi} \int_0^{\pi/2} \int_0^3 r^2 (\cos \theta + \sin \theta) dr d\theta = \frac{8}{\pi} (> 2, \text{ claro}).$$





## 4.2. Integrales triples

Como para  $n=2$  se define  $\iiint_P f$  para  $f(x, y, z)$  acotada en un paralelepípedo  $P = [a, b] \times [c, d] \times [p, q]$ . Será un 'volumen' de un 'sólido' en 4 dimensiones de 'base'  $P$  y 'altura' dada por  $f$  (o la **masa** de  $V$  si  $f$  es su densidad). La integral se calcula como allí:

$$f \text{ continua en } P \Rightarrow \iiint_P f = \int_p^q \int_c^d \int_a^b f(x, y, z) dx dy dz$$

[o las otras 5 iteradas intercambiando los papeles de  $x, y, z$ ].

**Ej 1.** Si  $f(x, y, z) = 2yz - x$  y  $P = [0, 1] \times [0, 2] \times [0, 3]$  es:

$$\iiint_P f = \int_0^1 \int_0^2 \int_0^3 (2yz - x) dz dy dx = \int_0^1 \int_0^2 (9y - 3x) dy dx = \int_0^1 (18 - 6x) dx = 15.$$

O podemos hacerlo, por ejemplo, con este otro orden de integración:

$$\iiint_P f = \int_0^3 \int_0^2 \int_0^1 (2yz - x) dx dy dz = \int_0^3 \int_0^2 (2yz - \frac{1}{2}) dy dz = \int_0^3 (4z - 1) dz = 15.$$

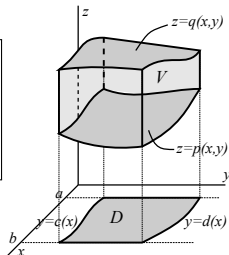
También se puede integrar en recintos  $V \subset \mathbf{R}^3$  más generales.

Si  $V = \{(x, y, z) : a \leq x \leq b, c(x) \leq y \leq d(x), p(x, y) \leq z \leq q(x, y)\}$ , con  $f$  continua en  $V$ ,  $c, d$  continuas en  $[a, b]$  y  $p, q$  continuas en  $D = \{(x, y) : a \leq x \leq b, c(x) \leq y \leq d(x)\}$ , será:

$$\iiint_V f = \int_a^b \int_{c(x)}^{d(x)} \int_{p(x,y)}^{q(x,y)} f(x, y, z) dz dy dx.$$

Análogos fórmulas se obtienen variando los papeles de  $x, y, z$ .

Cuando  $f \equiv 1$ , la  $\iiint_V dx dy dz$  **describe el volumen** de  $V$ .



## Ejemplos de integrales triples en cartesianas

Lo más difícil es dibujar las gráficas o al menos hacerse una idea de ellas para saber cuáles de las funciones que definen los recintos son mayores o menores.

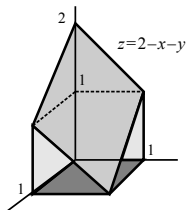
**Ej 2.** Calculemos  $\iiint_V x \, dx \, dy \, dz$ , con  $V$  región acotada por los planos:  
 $x=0$ ,  $y=0$ ,  $z=0$ ,  $x=1$ ,  $y=1$ ,  $x+y+z=2$ .

En  $[0, 1] \times [0, 1]$  está  $z=2-x-y$  por encima de  $z=0$ .

$$\begin{aligned}\iiint_V x \, dx \, dy \, dz &= \int_0^1 \int_0^1 \int_0^{2-x-y} x \, dz \, dy \, dx = \int_0^1 \int_0^1 (2x - x^2 - xy) \, dy \, dx \\ &= \int_0^1 (2x - x^2 - x[\frac{y^2}{2}]_0^1) \, dx = \int_0^1 (\frac{3x}{2} - x^2) \, dx = \frac{5}{12}.\end{aligned}$$

O un poquito más corto cambiando el orden de  $dx$  y  $dy$ . El primer paso es igual, y luego:

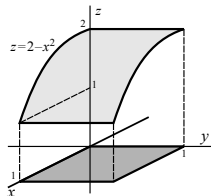
$$\int_0^1 \int_0^1 (2x - x^2 - xy) \, dx \, dy = \int_0^1 (1 - \frac{1}{3} - \frac{1}{2}y) \, dy = \frac{2}{3} - \frac{1}{4} = \frac{5}{12}.$$



**Ej 4.** Hallar  $\iiint_V e^z \, dx \, dy \, dz$ , con  $V$  sólido limitado por  $x=0$ ,  $x=1$ ,  $y=0$ ,  $y=1$ ,  $z=0$  y la superficie  $z=2-x^2$ .

En  $[0, 1] \times [0, 1]$  es  $z=2-x^2 > 0=z$  (ni se precisa el dibujo).

$$\begin{aligned}\iiint_V &= \int_0^1 \int_0^1 \int_0^{2-x^2} x e^z \, dz \, dy \, dx = \int_0^1 \int_0^1 x [e^{2-x^2} - 1] \, dy \, dx \\ &= \int_0^1 [x e^{2-x^2} - x] \, dx = -\frac{1}{2} [e^{2-x^2} + x^2]_0^1 = \frac{1}{2} (e^2 - e - 1).\end{aligned}$$



[Si fuese  $e^z$  la densidad del sólido  $V$  habríamos calculado su masa con el cálculo anterior].

# Cambios de variable e integrales en cilíndricas

Parecidos a los del plano son los **cambios de variable** en el espacio:

$$\text{Si } \mathbf{g}: (u, v, w) \rightarrow (x(u, v, w), y(u, v, w), z(u, v, w)) \text{ es } C^1, \text{ inyectiva en } V^*, \mathbf{g}(V^*) = V \\ \text{y } f \text{ integrable} \Rightarrow \iiint_V f(x, y, z) dx dy dz = \iiint_{V^*} f(\mathbf{g}(u, v, w)) \left| \frac{\partial(x, y, z)}{\partial(u, v, w)} \right| du dv dw.$$

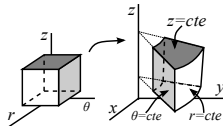
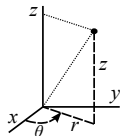
Los más interesantes son los cambios a **cilíndricas y esféricas**.

**Cilíndricas:**  $\begin{cases} x = r \cos \theta \\ y = r \sin \theta \\ z = z \end{cases}$  Polares del plano  $xy$  más la coordenada  $z$ .  
 $r \geq 0, 0 \leq \theta < 2\pi$  Se cumple  $r = \sqrt{x^2 + y^2}$ ,  $\tan \theta = \frac{y}{x}$ .

El jacobiano es  $\frac{\partial(x, y, z)}{\partial(r, \theta, z)} = \begin{vmatrix} r \cos \theta & r \sin \theta & 0 \\ -r \sin \theta & r \cos \theta & 0 \\ 0 & 0 & 1 \end{vmatrix} = \boxed{r}$ , y, por tanto:

$$\iiint_V f(x, y, z) dx dy dz = \iiint_{V^*} r f(r \cos \theta, r \sin \theta, z) dr d\theta dz$$

[Útil para integrar sobre cilindros y más superficies de revolución].

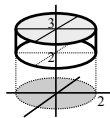


**Ej 9.** Integremos la función  $f(x, y, z) = z e^{x^2+y^2}$  sobre el cilindro  $x^2 + y^2 \leq 4$ ,  $2 \leq z \leq 3$ .

$$\iiint_V z e^{x^2+y^2} dx dy dz = \int_2^3 \int_0^{2\pi} \int_0^2 \underset{\uparrow \text{jacobiano}}{r} z e^{r^2} dr d\theta dz = \frac{9-4}{2} 2\pi \left[ \frac{1}{2} e^{r^2} \right]_0^2 = \frac{5\pi}{2} (e^4 - 1).$$

Es lo mismo que integrar en  $z$  y hacer luego el cambio a polares.

En cartesianas salen primitivas no calculables:  $\int e^{x^2+y^2} dx$  o  $\int e^{x^2+y^2} dy$ .



**Esféricas:**

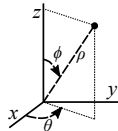
$$r \geq 0, \quad 0 \leq \phi \leq \pi \\ 0 \leq \theta < 2\pi$$

$$\begin{cases} x = \rho \sin \phi \cos \theta \\ y = \rho \sin \phi \sin \theta \\ z = \rho \cos \phi \end{cases}$$

$$\rho = \sqrt{x^2 + y^2 + z^2} = \sqrt{r^2 + z^2},$$

$$\tan \theta = \frac{y}{x}, \quad \tan \phi = \frac{r}{z}$$

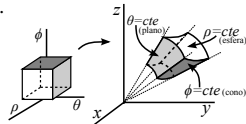
[con notación de libros de matemáticas].



$$\frac{\partial(x,y,z)}{\partial(\rho,\theta,\phi)} = \begin{vmatrix} \sin \phi \cos \theta & -\rho \sin \phi \sin \theta & \rho \cos \phi \cos \theta \\ \sin \phi \sin \theta & \rho \sin \phi \cos \theta & \rho \cos \phi \sin \theta \\ \cos \phi & 0 & -\rho \sin \phi \end{vmatrix} = \dots = -\rho^2 \sin \phi.$$

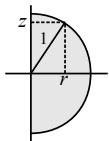
Luego: 
$$\iiint_V f(x,y,z) dx dy dz = \iiint_{V^*} \rho^2 \sin \phi f(\rho,\theta,\phi) d\rho d\phi d\theta.$$

En esféricas,  $\theta = C$  es un plano,  $\rho = C$  describe una superficie esférica y  $\phi = C$  una cónica. El recinto más sencillo de todos, desde luego, es la propia esfera que tantas veces aparece.



**Ej 8.** Hallemos el volumen de la esfera unidad de varias formas. Difícil en cartesianas.

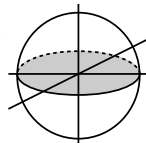
En esféricas: 
$$\text{vol} = \int_0^{2\pi} \int_0^\pi \int_0^1 \rho^2 \sin \phi d\phi d\rho d\theta = 2\pi [-\cos \phi]_0^\pi \left[ \frac{1}{3} \rho^3 \right]_0^1 = \frac{4\pi}{3}.$$



En cilíndricas hay dos caminos:

$$\text{vol} = \int_0^{2\pi} \int_{-1}^1 \int_0^{\sqrt{1-z^2}} r dr dz d\theta = 2\pi \int_{-1}^1 \frac{1-z^2}{2} dz = \frac{4\pi}{3}.$$

$$\text{vol} = \int_0^{2\pi} \int_0^1 \int_{-\sqrt{1-r^2}}^{\sqrt{1-r^2}} r dz dr d\theta = 2\pi \int_0^1 2r\sqrt{1-r^2} dr = \frac{4\pi}{3}.$$



En cartesianas sólo planteamos la integral: 
$$\text{vol} = 8 \int_0^1 \int_0^{\sqrt{1-y^2}} \int_0^{\sqrt{1-x^2-y^2}} dz dx dy = \dots$$